

I-164 多面槽円筒の応力特性について.

室蘭工業大学 正員 能町 純雄
 正員 松岡 健一
 学生員 〇 藤 隆.

1. まえがき.

薄肉筒の有力な解析方法として 折板理論がある。本文は折板理論の折板要素において、

- (1). 折板要素の軸方向(長手方向)の曲率変化を考慮し、
 - (2). 横方向(短方向)の剛性については SLOPE-DEFLECTION EQUATION に相当する式を考慮し、
 - (3). 折板の上縁、下縁での Shear Traction と Normal Forces については、折板要素を Two-Dimensional Problem の微分方程式を満足するように誘導した式を用い、
 - (4). 曲げについては、平板の曲げの微分方程式を満足するように誘導した式を用いて、
- 薄肉多面槽円筒の応力特性を調べたものである。

2. 帯板の DISPLACEMENT-SHEAR EQUATIONS.

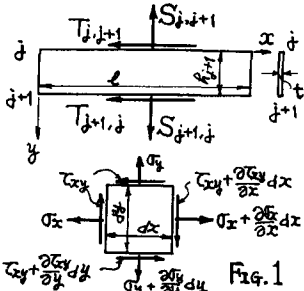


FIG. 1. において、2次元問題における、つりあいの微分方程式において

$$\frac{\partial \sigma_x}{\partial x} + \frac{\partial \tau_{xy}}{\partial y} = 0, \quad \frac{\partial \sigma_y}{\partial y} + \frac{\partial \tau_{xy}}{\partial x} = 0$$

また、 ϕ : Stress Function とすると、

$$\Delta^2 \phi = 0 \quad (\Delta: \text{LAPLACIAN})$$

$$\sigma_x = \frac{\partial^2 \phi}{\partial y^2}, \quad \sigma_y = \frac{\partial^2 \phi}{\partial x^2}, \quad \tau_{xy} = -\frac{\partial^2 \phi}{\partial x \partial y}$$

および、上縁、下縁での境界値:

j-side $\tau \sigma_y = S_{j,j+1}, \quad \tau \tau_{xy} = T_{j,j+1}, \quad u = u_j, \quad v = v_j$

j+1 side $\tau \sigma_y = S_{j+1,j}, \quad \tau \tau_{xy} = T_{j+1,j}, \quad u = u_{j+1}, \quad v = v_{j+1}$

を考慮して、次の Displacement-Shear equations を誘導される^(*)。

$$\dot{T}_{j,j+1} = \frac{E \times h_{j+1}}{6} (2 \ddot{u}_j + \ddot{u}_{j+1}) + \frac{\nu h_{j+1}}{6} (2 \ddot{s}_{j,j+1} + \ddot{s}_{j+1,j}) + \frac{S_{j,j+1} - S_{j+1,j}}{h_{j+1}} \dots (A)$$

$$\dot{T}_{j+1,j} = \frac{E t h_{j+1}}{6} (2 \ddot{u}_{j+1} + \ddot{u}_j) + \frac{\nu h_{j+1}}{6} (2 \ddot{s}_{j+1,j} + \ddot{s}_{j,j+1}) + \frac{S_{j+1,j} - S_{j,j+1}}{h_{j+1}} \dots (B)$$

$$G t h_{j+1} \ddot{u}_{j,j+1} = S_{j,j+1} - S_{j+1,j} + G t (u_j - u_{j+1}) - \frac{G h_{j+1}^2}{6E} \left\{ (1-\nu^2)(2 \ddot{s}_{j,j+1} + \ddot{s}_{j+1,j}) - \nu E t (2 \ddot{u}_j + \ddot{u}_{j+1}) \right\} \dots (C)$$

$$G t h_{j+1} \ddot{u}_{j+1,j} = S_{j+1,j} - S_{j,j+1} + G t (u_j - u_{j+1}) + \frac{G h_{j+1}^2}{6E} \left\{ (1-\nu^2)(2 \ddot{s}_{j+1,j} + \ddot{s}_{j,j+1}) - \nu E t (2 \ddot{u}_{j+1} + \ddot{u}_j) \right\} \dots (D)$$

ここで、(Dot)はxの1回偏微分 $\frac{\partial}{\partial x}$ を表わす。

(*) 能町, 松岡, 田島: 帯板を要素とする応力解析法 —土木学会北海道支部研究発表論文集 5.44.71—

3. 平板の曲げの微分方程式を満足する式

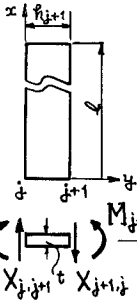


Fig. 2

平板の曲げの微分方程式 $\Delta^2 w = \frac{q}{N}$ $N = \frac{Et^3}{12(1-\nu^2)}$

ε. x方向に指数型 Fourier 変換し, y方向に Fourier sine 変換し, $\eta = \frac{y}{h_{j+1}}$ とすると,

$$w = w_j \cdot f^{(1)}(\eta) + w_{j+1} \cdot f^{(2)}(\eta) - \frac{\partial^2 w}{\partial y^2} \Big|_j \frac{h_{j+1}^2}{N} \cdot f^{(3)}(\eta) - \frac{\partial^2 w}{\partial y^2} \Big|_{j+1} \frac{h_{j+1}^2}{N} \cdot f^{(4)}(\eta)$$

ここで $f^{(1)}(\eta) = 1 - \eta$ $f^{(2)}(\eta) = \eta$,

$$f^{(3)}(\eta) = \frac{\eta(1-\eta)(2-\eta)}{6}, \quad f^{(4)}(\eta) = \frac{\eta(1-\eta^2)}{2}$$

これらの式から, 次に示す関係式を導出される (**)

ただし, Notation ~ は $\tilde{F}_m = \int_0^a f(x) \sin \frac{m\pi x}{a} dx$ を表わす。

$$\tilde{M}_{j,j-1} = -\frac{2N}{h_j} \left\{ 2\tilde{\theta}_j + \tilde{\theta}_{j-1} - \frac{3}{h_j} (\tilde{w}_{j,j-1} - \tilde{w}_{j-1,j}) \right\} + \nu N \cdot \left(\frac{m\pi}{a}\right)^2 \tilde{w}_{j,j-1} \quad \dots (E)$$

$$\tilde{M}_{j,j+1} = \frac{2N}{h_{j+1}} \left\{ 2\tilde{\theta}_j + \tilde{\theta}_{j+1} - \frac{3}{h_{j+1}} (\tilde{w}_{j,j+1} - \tilde{w}_{j+1,j}) \right\} + \nu N \cdot \left(\frac{m\pi}{a}\right)^2 \tilde{w}_{j,j+1} \quad \dots (F)$$

$$X_{j,j+1} = \frac{M_{j+1,j} - M_{j,j+1}}{h_{j+1}} - \frac{N(1+\nu)}{h_{j+1}} (\tilde{w}_{j+1,j} - \tilde{w}_{j,j+1}) + \frac{h_{j+1}}{6} \left\{ (2\tilde{M}_{j,j+1} + \tilde{M}_{j+1,j}) - N(1-\nu)(2\tilde{w}_{j,j+1} + \tilde{w}_{j+1,j}) \right\} \quad \dots (G)$$

$$X_{j,j-1} = \frac{M_{j,j-1} - M_{j-1,j}}{h_j} - \frac{N(1+\nu)}{h_j} (\tilde{w}_{j,j-1} - \tilde{w}_{j-1,j}) - \frac{h_j}{6} \left\{ (2\tilde{M}_{j,j-1} + \tilde{M}_{j-1,j}) - N(1-\nu)(2\tilde{w}_{j,j-1} + \tilde{w}_{j-1,j}) \right\} \quad \dots (H)$$

4. 多面積円筒体の力のつりあい。

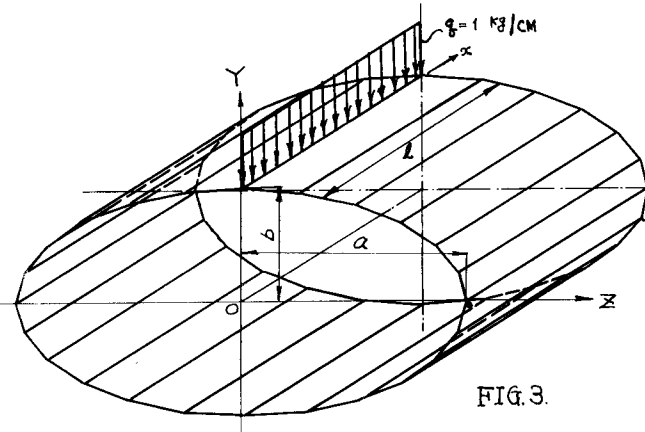


FIG. 3.

FIG. 3で $\frac{x^2}{a^2} + \frac{y^2}{b^2} = 1$

極座標表示して, $x = a \cos \theta, y = b \sin \theta$

この Parameter θ を一定角度ずつ, θ として座標を決める。

FIG. 4に於いて, θ 点での力のつりあいをとる。

(i) 曲げモーメントのつりあい。

$$M_{j,j} + M_{j,j-1} - M_{j,j+1} = 0 \quad \dots (1)$$

(ii) x方向の SHEAR TRACTION のつりあい。

$$T_{j,j} + T_{j,j-1} + T_{j,j+1} = 0 \quad \dots (2)$$

(iii) z方向の力のつりあい。

$$E_j^z - S_{j,j-1} \cos \varphi_j + S_{j,j+1} \cos \varphi_{j+1} + X_{j,j-1} \sin \varphi_j - X_{j,j+1} \sin \varphi_{j+1} = 0 \quad \dots (3)$$

(iv) Y方向の力のつりあい。

$$E_j^y - S_{j,j-1} \sin \varphi_j + S_{j,j+1} \sin \varphi_{j+1} - X_{j,j-1} \cos \varphi_j + X_{j,j+1} \cos \varphi_{j+1} = 0 \quad \dots (4)$$

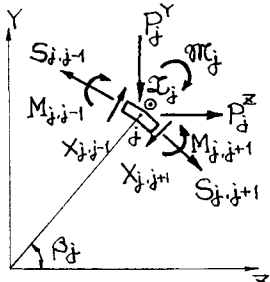


FIG. 4. 力のつりあい

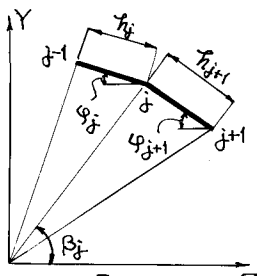


FIG. 5

(**) 能町, 松岡, 堀米: 帯板を要素とする平板の解法について —土木学会第24回学術講演会講演集—

5. 変位の座標変換

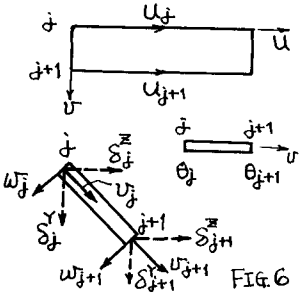


FIG. 6. 4.

$$\begin{aligned} U_{j,j-1} &= \delta_j^Z \cos \varphi_j + \delta_j^Y \sin \varphi_j \\ U_{j,j+1} &= \delta_j^Z \cos \varphi_{j+1} + \delta_j^Y \sin \varphi_{j+1} \\ W_{j,j-1} &= -\delta_j^Z \sin \varphi_j + \delta_j^Y \cos \varphi_j \\ W_{j,j+1} &= -\delta_j^Z \sin \varphi_{j+1} + \delta_j^Y \cos \varphi_{j+1} \end{aligned}$$

はさ方向に 変位の座標変換あり。

6. 理論式の誘導

- (i). 2. の (C), (D) 式に Fourier sine 変換をほどこし、連立に解いて、 $\tilde{S}_{j,j}$, $\tilde{S}_{j,j+1}$ を求める。
 - (ii). (G), (H) を Fourier sine 変換し、(E), (F) を代入して $\tilde{X}_{j,j+1}$, $\tilde{X}_{j,j-1}$ を求める。
 - (iii). (A), (B) を Fourier sine 変換し、(i) の \tilde{S} を代入して $\tilde{T}_{j,j+1}$, $\tilde{T}_{j,j-1}$ を求める。
- 以上の式を (1), (2), (3), (4) を Fourier sine 変換した式に代入し、5. の座標変換をさると、

$$\begin{aligned} \frac{\tilde{W}_j^Z}{N} &= \frac{2}{r_j} \tilde{\theta}_{j-1} + 4 \left(\frac{1}{r_j} + \frac{1}{r_{j+1}} \right) \tilde{\theta}_j + \frac{2}{r_{j+1}} \tilde{\theta}_{j+1} - \frac{6}{r_j^2} \sin \varphi_j \cdot \tilde{\delta}_{j-1}^Z + 6 \left[\frac{H_j}{r_j^2} \sin \varphi_j - \frac{H_{j+1}}{r_{j+1}^2} \sin \varphi_{j+1} \right] \cdot \tilde{\delta}_j^Z \\ &+ \frac{6}{r_{j+1}^2} \sin \varphi_{j+1} \cdot \tilde{\delta}_{j+1}^Z + \frac{6}{r_j^2} \cos \varphi_j \cdot \tilde{\delta}_{j-1}^Y + 6 \left[-\frac{H_j}{r_j^2} \cos \varphi_j + \frac{H_{j+1}}{r_{j+1}^2} \cos \varphi_{j+1} \right] \tilde{\delta}_j^Y \\ &- \frac{6}{r_{j+1}^2} \cos \varphi_{j+1} \cdot \tilde{\delta}_{j+1}^Y \quad \dots\dots (1)' \end{aligned}$$

$$\begin{aligned} \frac{\tilde{U}_j^Z}{12N} &= -\frac{E_j \Delta_j}{r_j} \tilde{u}_{j-1} - \left(\frac{E_{j+1} \Delta_{j+1}}{r_{j+1}} + \frac{E_j \Delta_j}{r_j} \right) \cdot \tilde{u}_j - \frac{E_{j+1} \Delta_{j+1}}{r_{j+1}} \cdot \tilde{u}_{j+1} - \frac{1+\nu}{4} \left(\frac{\pi \tau}{l} \right)^2 \Delta_j \cos \varphi_j \cdot \tilde{\delta}_{j-1}^Z \\ &+ \left(\frac{\pi \tau}{l} \right)^2 \left\{ \Delta_j \chi_j \cos \varphi_j - \Delta_{j+1} \chi_{j+1} \cos \varphi_{j+1} \right\} \tilde{\delta}_j^Z + \left(\frac{\pi \tau}{l} \right)^2 \frac{1+\nu}{4} \Delta_{j+1} \cos \varphi_{j+1} \cdot \tilde{\delta}_{j+1}^Z - \left(\frac{\pi \tau}{l} \right)^2 \frac{1+\nu}{4} \Delta_j \sin \varphi_j \cdot \tilde{\delta}_{j-1}^Y \\ &+ \left(\frac{\pi \tau}{l} \right)^2 \left\{ \Delta_j \chi_j \sin \varphi_j - \Delta_{j+1} \chi_{j+1} \sin \varphi_{j+1} \right\} \tilde{\delta}_j^Y + \left(\frac{\pi \tau}{l} \right)^2 \frac{1+\nu}{4} \Delta_{j+1} \sin \varphi_{j+1} \cdot \tilde{\delta}_{j+1}^Y \quad \dots\dots (2)' \end{aligned}$$

$$\begin{aligned} \frac{\tilde{P}_j^Z}{N} &= \frac{6}{r_j^2} \sin \varphi_j \cdot \tilde{\theta}_{j-1} + 6 \left\{ \frac{H_j}{r_j^2} \sin \varphi_j - \frac{H_{j+1}}{r_{j+1}^2} \sin \varphi_{j+1} \right\} \cdot \tilde{\theta}_j - \frac{6}{r_{j+1}^2} \sin \varphi_{j+1} \cdot \tilde{\theta}_{j+1} + \frac{3(1+\nu)}{t^2} \Delta_j \cos \varphi_j \cdot \tilde{u}_{j-1} \\ &+ \frac{12}{t^2} \left\{ \delta_j \cos \varphi_j - \delta_{j+1} \cos \varphi_{j+1} \right\} \tilde{u}_j - \frac{3(1+\nu)}{t^2} \Delta_{j+1} \cos \varphi_{j+1} \cdot \tilde{u}_{j+1} - \frac{12}{r_j^2} \left\{ \frac{\alpha_j}{t^2} \cos^2 \varphi_j + \frac{E_j}{r_j^2} \sin^2 \varphi_j \right\} \tilde{\delta}_{j-1}^Z \\ &+ 12 \left[\frac{1}{r_j} \left(\frac{\Phi_j \sin^2 \varphi_j}{r_j^2} - \frac{\beta_j \cos^2 \varphi_j}{t^2} \right) + \frac{1}{r_{j+1}} \left(\frac{\Phi_{j+1} \sin^2 \varphi_{j+1}}{r_{j+1}^2} - \frac{\beta_{j+1} \cos^2 \varphi_{j+1}}{t^2} \right) \right] \tilde{\delta}_j^Z \\ &- \frac{12}{r_{j+1}} \left\{ \frac{\alpha_{j+1} \cos^2 \varphi_{j+1}}{t^2} + \frac{E_{j+1} \sin^2 \varphi_{j+1}}{r_{j+1}^2} \right\} \cdot \tilde{\delta}_{j+1}^Z + \frac{12}{r_j} \left(\frac{E_j}{r_j^2} - \frac{\alpha_j}{t^2} \right) \cos \varphi_j \sin \varphi_j \cdot \tilde{\delta}_{j-1}^Y \\ &- 12 \left[\frac{1}{r_j} \left(\frac{\Phi_j}{r_j^2} + \frac{\beta_j}{t^2} \right) \sin \varphi_j \cos \varphi_j + \frac{1}{r_{j+1}} \left(\frac{\Phi_{j+1}}{r_{j+1}^2} + \frac{\beta_{j+1}}{t^2} \right) \sin \varphi_{j+1} \cos \varphi_{j+1} \right] \tilde{\delta}_j^Y + \frac{12}{r_{j+1}} \left(\frac{E_{j+1}}{r_{j+1}^2} - \frac{\alpha_{j+1}}{t^2} \right) \sin \varphi_{j+1} \cos \varphi_{j+1} \cdot \tilde{\delta}_{j+1}^Y \quad \dots\dots (3)' \end{aligned}$$

$$\begin{aligned} \frac{\tilde{P}_j^Y}{N} &= -\frac{6}{r_j^2} \cos \varphi_j \cdot \tilde{\theta}_{j-1} + 6 \left\{ \frac{H_{j+1}}{r_{j+1}^2} \cos \varphi_{j+1} - \frac{H_j}{r_j^2} \cos \varphi_j \right\} \cdot \tilde{\theta}_j - \frac{6}{r_{j+1}^2} \cos \varphi_{j+1} \cdot \tilde{\theta}_{j+1} + \frac{3(1+\nu)}{t^2} \Delta_j \sin \varphi_j \cdot \tilde{u}_{j-1} \\ &+ \frac{12}{t^2} \left(\delta_j \sin \varphi_j - \delta_{j+1} \sin \varphi_{j+1} \right) \cdot \tilde{u}_j - \frac{3(1+\nu)}{t^2} \Delta_{j+1} \sin \varphi_{j+1} \cdot \tilde{u}_{j+1} - \frac{12}{r_j^2} \left(\frac{E_j}{r_j^2} - \frac{\alpha_j}{t^2} \right) \sin \varphi_j \cos \varphi_j \cdot \tilde{\delta}_{j-1}^Z \\ &- 12 \left[\frac{\sin \varphi_j \cos \varphi_j}{r_j} \left(\frac{\beta_j}{t^2} + \frac{\Phi_j}{r_j^2} \right) + \frac{\sin \varphi_{j+1} \cos \varphi_{j+1}}{r_{j+1}} \left(\frac{\beta_{j+1}}{t^2} + \frac{\Phi_{j+1}}{r_{j+1}^2} \right) \right] \tilde{\delta}_j^Z + \frac{12}{r_{j+1}} \left(\frac{E_{j+1}}{r_{j+1}^2} - \frac{\alpha_{j+1}}{t^2} \right) \sin \varphi_{j+1} \cos \varphi_{j+1} \cdot \tilde{\delta}_{j+1}^Z \end{aligned}$$

$$- \frac{12}{h_j} \left(\frac{\alpha_j}{t} \sin^2 \varphi_j + \frac{\varepsilon_j}{h_j^3} \cos^2 \varphi_j \right) \cdot \delta_{j-1}^Y - 12 \cdot \left[\frac{1}{h_j} \left(\frac{\beta_j}{t} \sin^2 \varphi_j - \frac{\varphi_j}{h_j^3} \cos^2 \varphi_j \right) + \frac{1}{h_{j+1}} \left(\frac{\beta_{j+1}}{t} \sin^2 \varphi_{j+1} + \frac{\varphi_{j+1}}{h_{j+1}^3} \cos^2 \varphi_{j+1} \right) \right] \cdot \delta_j^Y - \frac{12}{h_{j+1}} \left(\frac{\alpha_{j+1}}{t} \sin^2 \varphi_{j+1} + \frac{\varepsilon_{j+1}}{h_{j+1}^3} \cos^2 \varphi_{j+1} \right) \cdot \delta_{j+1}^Y \quad \dots (4)'$$

(1), (2), (3), (4) の各 \$j\$ に対してつりあいの式を求め連立方程式を解く。Fourier sine 変換の逆変換

$$\theta_j = \frac{2}{l} \sum_{m=1}^{\infty} \tilde{\theta}_j \sin \frac{m\pi x}{l}, \quad u_j = \frac{2}{l} \sum_{m=1}^{\infty} \tilde{u}_j \sin \frac{m\pi x}{l}, \quad \delta_j^Z = \frac{2}{l} \sum_{m=1}^{\infty} \tilde{\delta}_j^Z \sin \frac{m\pi x}{l}, \quad \delta_j^Y = \frac{2}{l} \sum_{m=1}^{\infty} \tilde{\delta}_j^Y \sin \frac{m\pi x}{l}$$

よってこれ、各 \$j\$ に対しての Bending Moment, \$x\$ 方向の \$\sigma_{xz} = E u_j\$ を求める。

$$\text{尚、上式より } \alpha_j = \left\{ 1 - \frac{(1-\nu) h_j^2}{12} \left(\frac{m\pi}{l} \right)^2 \right\} \cdot \Delta_j, \quad \beta_j = \left\{ -1 - \frac{(1-\nu) h_j^2}{6} \left(\frac{m\pi}{l} \right)^2 \right\} \cdot \Delta_j, \quad \varphi_j = - \left\{ \frac{1-3\nu}{4} - \frac{\nu(1-\nu) h_j^2}{24} \left(\frac{m\pi}{l} \right)^2 \right\} \cdot \Delta_j$$

$$\Delta_j = 1 + \frac{1+\nu}{6} h_j^2 \left(\frac{m\pi}{l} \right)^2 + \frac{h_j^4}{36} \left(\frac{m\pi}{l} \right)^4, \quad \varepsilon_j = 1 + \frac{1+\nu}{6} h_j^2 \left(\frac{m\pi}{l} \right)^2 - \frac{h_j^4}{72} \left(\frac{m\pi}{l} \right)^4, \quad \mu_j = 1 + \frac{h_j^2}{6} \left(\frac{m\pi}{l} \right)^2$$

$$\xi_j = \frac{1-\nu}{2} - \frac{2+\nu}{12} h_j^2 \left(\frac{m\pi}{l} \right)^2 - \frac{(1-\nu) h_j^4}{144} \left(\frac{m\pi}{l} \right)^4, \quad \tilde{\xi}_j = -\frac{1-\nu}{2} - \frac{(4-\nu) h_j^2}{12} \left(\frac{m\pi}{l} \right)^2 - \frac{(1-\nu) h_j^4}{72} \left(\frac{m\pi}{l} \right)^4,$$

$$\chi_j = -\frac{1-3\nu}{4} + \frac{\nu(1-\nu) h_j^2}{24} \left(\frac{m\pi}{l} \right)^2, \quad \Delta_j = 1 / \left\{ 1 + \frac{1-\nu}{24} \left(\frac{m\pi}{l} \right)^2 h_j^2 \right\} \quad \text{である。}$$

7. 数値計算

FIG. 3. にあるような荷重で、使用数値は、\$E = 2100000 \text{ kg/cm}^2\$, \$t = 0.5 \text{ cm}\$, \$a = 10 \text{ cm}\$, \$b = 5 \text{ cm}\$, \$\nu = 0.3\$
\$m = 1, 3, 5, 9\$ \$j = 0 \sim 23\$, \$\theta = 15^\circ\$, \$l = 100 \text{ cm}\$。FIG. 7, 8 に計算結果を示す。

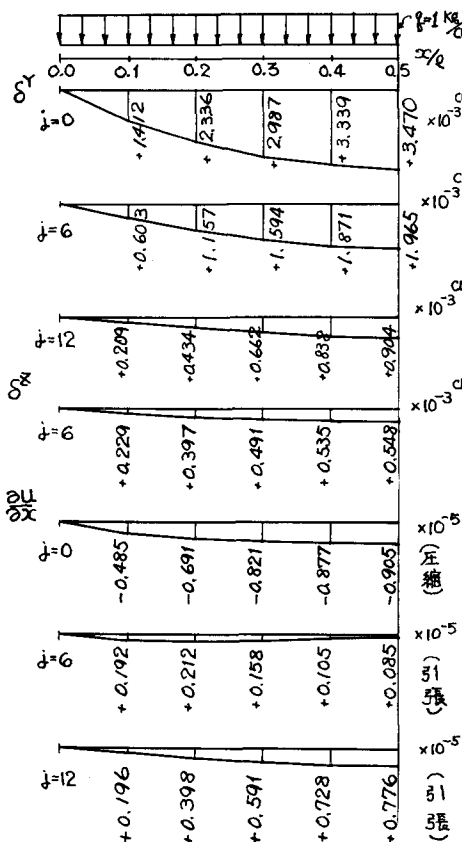


FIG. 8 各 \$j\$ における変位 (\$\delta^Z, \delta^Y\$), 歪 (\$\epsilon\$) の \$x\$ 方向 (長手方向) の変化の様式

8. あとがき

文献(***)に、正多面筒体の応力解析があり、析板の分割の極限において、そのつりあいの式が Timoshenko の微分方程式に一致することを確認されておられ、この論文では、撓角のつりあいを捨て、Bending Moment のつりあいの式を用い、積層筒体と、正多面筒体の Topological 一致を考えたための 1 Step として、まとめたものである。数値計算には、北大大型計算機センターの FACOM 230-60 FORTRAN を用いた。

— 参考文献(***) —

能町, 松岡, 田島: 多面筒体の応力解析について, 土木学会 25 回年次学術講演会 講演集

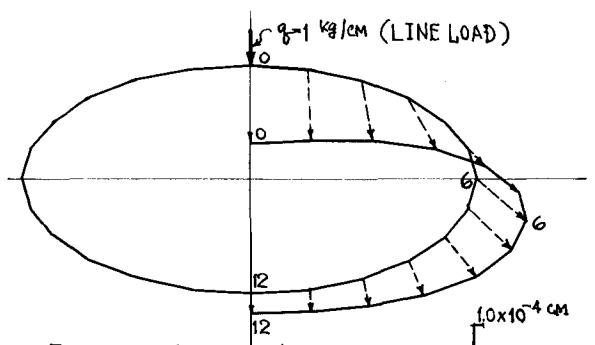


FIG. 7 \$x/l = 0.5\$ (筒体の中央) の DISPLACEMENT (\$\delta^Z, \delta^Y\$) SCALE